

多重相貫図形が表現可能なスペースモデル用 頂点テーブルの検討†

大 沢 晃†

スペースモデリング^{1),2)}は、図形の相互位置関係を含む図形空間全体をポインタによって構造化表現する、二次元・三次元一貫した図形データベースのコンセプトである。この方式によれば、隣接空間・重なり図形の直接的検索が可能なため、AND・OR等図形集合演算、運動図形の衝突検出、隠面・隠線消去表示、等高度の図形処理が高速に実行できる。本研究はこの方式を実現するために必要な、データ表現のために図形頂点に設置する頂点テーブルの構成法に関するものである。本方式は二次元・三次元スペースモデルのポインタ表現および隣接空間検索の基本となる回転サーチをサポートすることで、上記各種図形処理の効率的な実行を可能とするものである。本方式の特徴は図形の交叉点を通常の頂点と同様の方法で陽に表現する点にある。これにより図形集合演算等相貫図形の高速処理が実現する。また本方式によれば従来一般に行われている^{3),4)}、点、折れ線、凹凸・穴を含む多角形・多面体、等のほか、界面等表裏の定義されない面、モザイク状複合多角形・多面体、多重相貫体、等のあいまいさのない、かつコンパクトな表現が可能になる。そのほか本方式では、辺、面、空間をすべてポインタで表現すると共に、テーブルの固定長化について配慮しているため、図形追加・削除・加工等に伴うメンテナンスも容易であり、オンライン用汎用図形データベースのデータ構造として有用と考えられる。

1. まえがき

ワイヤフレーム、ソリッドモデル等従来^{3),4)}の図形表現手法が個々の図形自体の表現に留まっていたのに對し、スペースモデル^{1),2)}は図形内外を対等な空間として扱い、部分空間を表現するポインタの組によって図形空間全体を構造化する、二次元・三次元一貫した図形データの表現法である。この方式ではポインタ検索によって隣接空間・重なり図形の直接的検索が可能なため、図形集合演算、運動図形の衝突検出、隠面消去表示等、広範囲の図形処理が、必要部分だけの局所的処理で実行できる。このため別論文^{1),2)}で示した例外的な場合を除き、多くの応用において全体図形数に依存しない $O(1)$ の処理速度を実現することができる。

スペースモデルでは図形集合演算等、図形重なり処理を高速化するため、図形の交点をデータとして陽に表現する手法をとる。図形の交点とは、二次元では図形辺間の交点、三次元では面を貫通する辺の貫通点のことである。本論文の主要ポイントは、このような図形交点や凹凸・回転を含む一般的な図形頂点の表現が可能で、かつスペースモデルの特徴である局所的図形処理の効率的実行を可能とする、二次元・三次元一貫思想による頂点テーブルの構成法を提案することである。

る。局所的図形処理のためには、本文で説明するが、注目した部分空間の外形や隣接部分空間を高速に検索する回転サーチと呼ぶ手法^{1),2)}を可能にするようなテーブル構造にする必要がある。本方式はこの要求にこたえる一つの解である。

交点を表現することにより、表現可能な図形の範囲も広くなる。すなわち二次元では従来の点、折れ線、凹凸・穴を含む多角形等に加えて、重なりを含むステンドグラス状多色図形の表現が可能になる。また三次元では上記および凹凸多面体等に加えて、物体間の界面等表裏の定義されない面や、穴・多重相貫を含む多材質モザイク状多面体等の表現が実現する。

本論文第二章ではスペースモデルの概念と、二次元図形を表現する頂点テーブルの基本的考え方を述べ、第三章ではリスト構造を併用した三次元頂点テーブルへの拡張について説明する。本論文で一貫して注意したことは、同一点で交叉する線の本数や、同一線で交叉する面の数等に実用上支障のない程度の制限をつけ、かつ多少の空欄を許容すれば、全データを基本的に固定長テーブルで表現できるようにしたこと、および、辺・面・空間をすべてポインタで表現したことである。これらは処理の効率化と図形部分修正の容易化に役立つと考えられる。

2. 二次元スペースモデル用頂点テーブル

2.1 スペースモデルの基本原理

図1に示すように、頂点の周りの凹な（辺に挟まれ

† Study on Vertex Table for Space Model, Capable to Represent Multiple Penetration of Figures by AKIRA OHSAWA (Musashi Works, Hitachi Ltd.).

† (株)日立製作所武藏工場

た角度が 180° より大な) 空間を、頂点を通り Y 軸に平行な仮想的境界線 B_x (図中 1 点鎖線) で区切り*, これと各图形の辺 B_y によって全体を部分空間 $\omega_0, \dots, \omega_i, \dots$ に分割する。この場合 B_x が B_y を突き抜けることはないとする。空間を頂点を通る B_x と B_y とで区切ったのであるから、各 ω_i はその X^+, X^- 端 (X 座標値最大および最小の位置) に必ず頂点を持つ (辺と辺の交点も頂点とする)。その頂点にそれぞれ空間**に対応するポインタ SP (Space Pointer) を設置し、 ω_i の両端の SP が相互に相手の SP のアドレスを指すようにする。この SP の対を SPP (Space Pointer Pair: 図中矢印付細線) と呼び、SPP を設置した全体の图形データ・ファイルのことを SPF (Space Pointer File) と名付ける。

X 座標値の等しい 2 個以上の頂点が存在する時には、それらが X 方向に相互にごくわずかずれており、それぞれの頂点を通る B_x の間に無限小幅の空間が存在すると考えれば、どの ω_i の左右端もそれぞれ 1 個で、かつ 1 個に限る頂点が存在すると言える。これにより、各 ω_i には必ず 1 組の SPP_i が 1 対 1 で対応することになる。1 対 1 なので、 SPP_i が与えられたとき、 SPP_i から対応する ω_i の持つ情報を求めるのが容易なら、 SPP_i は ω_i を表現していると言ってよい。 SPP_i が ω_i を表現しているなら、各種图形処理における图形(空間)検索問題は SPF の中から対応する SPP_i を検索する問題に置換できる。ここで ω_i の持つ情報とは、 ω_i の外形線となる B_x と B_y 、これらに接する X, Y 側隣接空間、色、图形名等である。例えば図 1 で SPP_1 が与えられたとき、 ω_1 の X^+ 側外形 B_{x1}^+ や、隣接空間を表現する SPP_0 が、ポインタをたどって容易に検索できることは明らかであろう。また Y^+ 側外形 B_{y1}^+ は、 SPP_1 から図中白矢印 で示すようにポインタをたどる回転サーチと名付けた手法により求められる。回転サーチの B_{y1}^+ への到着は、サーチ途上で通過する頂点の X 座標値を ω_1 の範囲と比

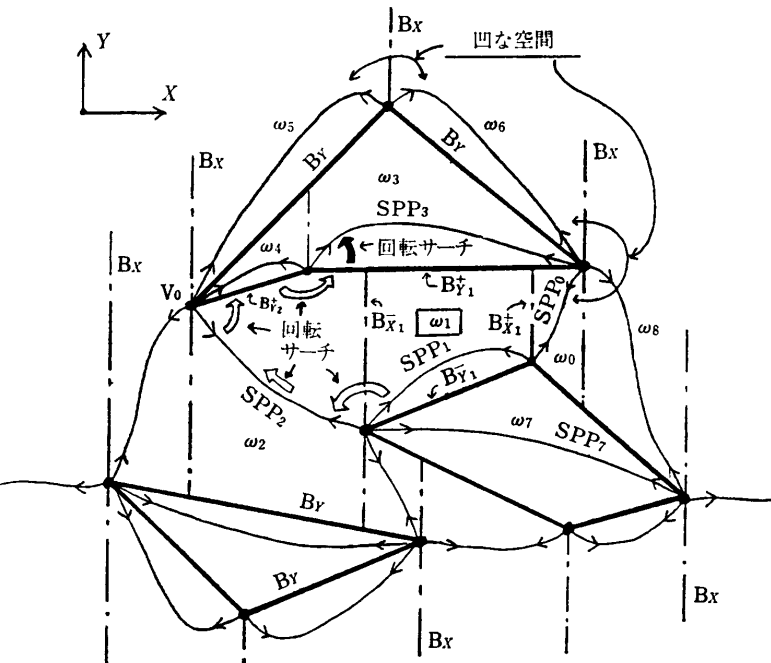


図 1 SPF のデータ構造 (空間 ω_i の SPP_i による表現) と隣接空間の検索
Fig. 1 Representation of ω_i by SPP_i and retrieval of adjacent subspace.

較していれば判定できる。回転サーチは SPP の接続する頂点 (同図 V_0) が極端に遠方にあるような例外的图形を除けば局所的であり、全体图形数に無関係な $O(1)$ の処理となる。なお、有限な图形なら V_0 は必ず存在する。 Y^+ 側隣接空間を表現する SPP_3 も、 B_{y1}^+ からの回転サーチで検索できる。 X, Y 共に隣接空間が検索できるから、隣接空間伝いに任意の場所へ注目点を移動させることもできる。

色や图形名等は図 2 のごとく SPP に空間属

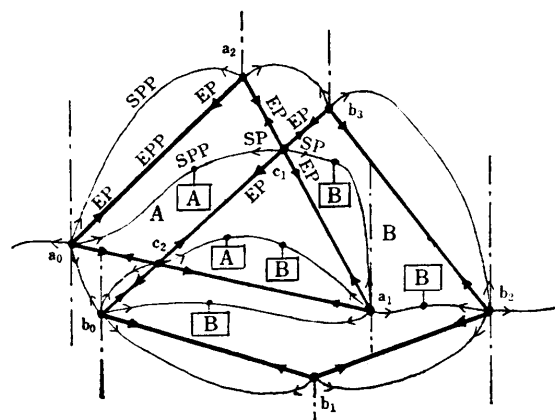


図 2 空間属性 による重なり表現の原理
Fig. 2 Concept of overlap representation by Space Attributes .

* ここでは図の煩雑化を避けるために B_x を凹な空間に限定したが、凸な(180° 以下の)空間にもすべて B_x を設置する方式もある。どちらにしても原理上問題はない(文献 1 の付録 1)。

** 以下部分空間のことを単に空間と呼ぶこともある。

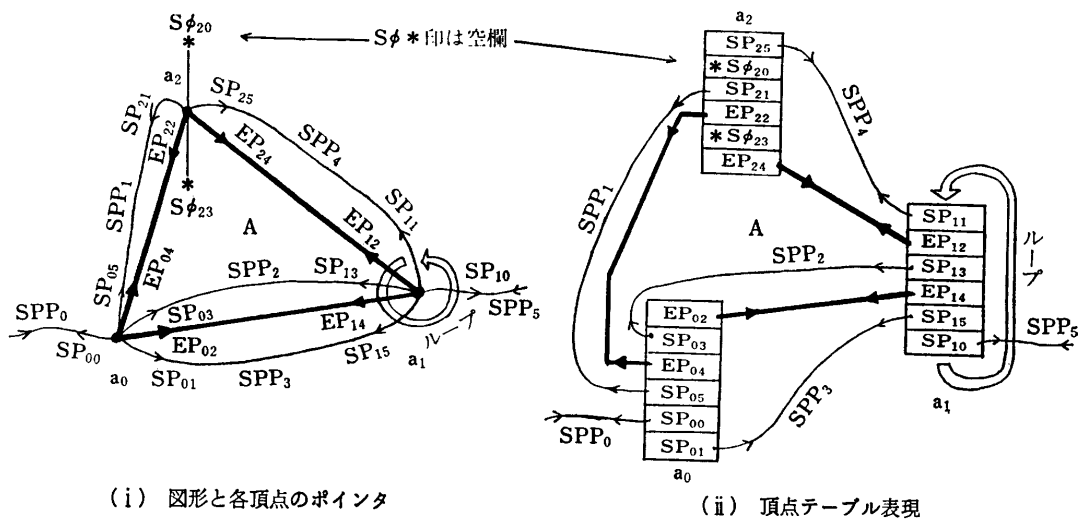


図 3 回転サーチの効率化を実現するループ状頂点テーブル
Fig. 3 Loop style Vertex Table realizes effective Rotary-Search.

性として付加する。図形の重なりは空間属性の重なりで認識できる。\$SPF\$ では図形辺もポインタ \$EP\$ (Edge Pointer) の組 \$EPP\$ (\$EP\$ Pair) で表現し、変更を容易化している。\$SPF\$ 構造の生成時間は例外的な場合を除き、総頂点数 \$N\$ に対し \$O(N)\$ となる^{1), 2)}。

2.2 二次元 \$SPF\$ におけるループ状頂点テーブル

図 3(i), (ii) に各図形頂点に設置して図形データを表現する頂点テーブルを示す。同図(ii)の頂

点テーブルには、同図(i)に対応して辺を表現する \$EP\$ と、空間を表現する \$SP\$ とが頂点まわりの並び順に合わせてループ状に設置してある。各 \$EP, SP\$ はそれぞれ他の頂点の \$EP, SP\$ と接続（相互に相手のアドレスを指す）して \$EPP, SPP\$ を形成している。図中 \$S\phi\$ はテーブルを固定長化してメモリ管理を容易化するためのダミーとして設置した空欄である。この方式によれば、図 1 に白矢印で示した回転サーチに必要な、頂点周りで隣り合う \$EP, SP\$ の検索は、隣りの欄を見る (\$S\phi\$ は読みとばす) ことで高速に実行できる。また辺や空間がすべてポインタで表現されているので、図形追加・削除・変形等に伴う更新が簡単な利点もある。図 4 は図形回転時の部分空間の変化に伴うポインタの更新が、一部の \$SP\$ および \$S\phi\$ の指し先の変更だけで容易であることを示す例である。なお

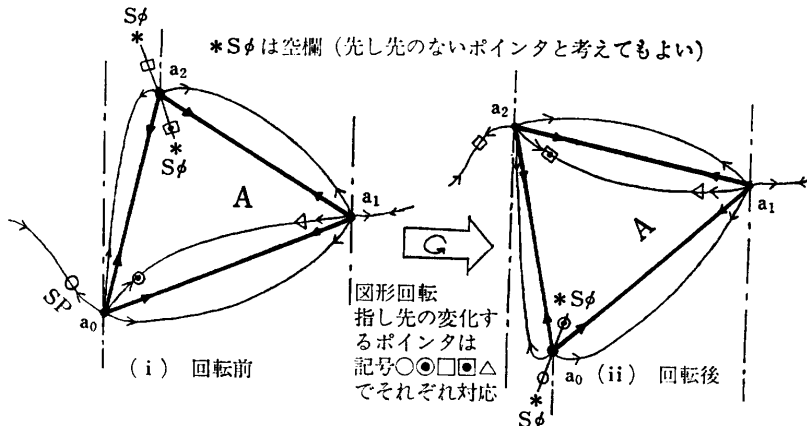


図 4 図形回転時のポインタ修正
Fig. 4 Pointer update corresponding with figure rotation.

頂点テーブルにはこれ以外に頂点座標値 \$x, y\$ や、\$EP, SP\$ に付加する空間属性、辺属性（色、図形名など）等も設置するが、図 3(i), (ii) では図示を略してある。

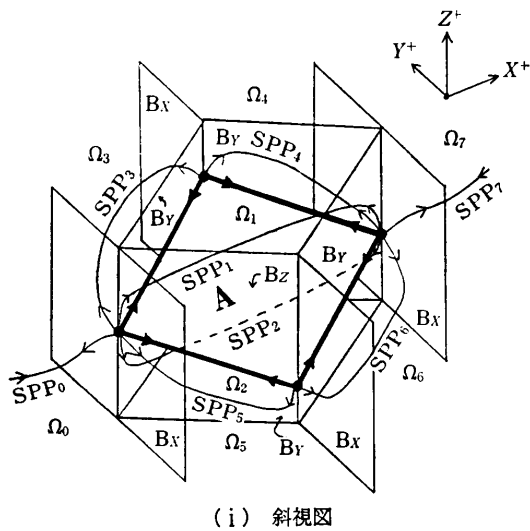
前出図 2 のごとく図形に交叉がある場合、辺の交点 \$c_1, c_2\$ も一種の頂点として頂点テーブルで表現する。図 2 に示すように交点に設置すべきポインタは 2 個の \$SP\$ と 4 個の \$EP\$、合計 6 個である。同一点で三本以上の辺が交叉する「複雑な交点」は、二本の辺による交点が複数個近接したものとして取扱う。この方法によれば、交点を含むすべての多角形頂点は、ポインタ 6 個の固定長頂点テーブルで表現できることになる。

3. 三次元スペース・モデル用頂点テーブル

3.1 原理と頂点テーブルへの要求事項

図5(i)に三次元空間分割と部分空間 Ω_i を表現する SPP_i を示す。三次元空間は图形頂点を通り X 軸に垂直な仮想面 B_x 、图形辺を含み Z 軸に平行な仮想面 B_y 、および图形面自体 B_z によって部分空間 Ω_i ($i=0, 1, 2, \dots$) に分割され、 Ω_i と 1 対 1 でこれを表現する SPP_i が設置される。これを Z 軸+側から眺めたのが図5(ii)であり、二次元の空間分割と類似した形となる。この方式によれば二次元の場合と同じく隣接空間や重なり图形の検索が局所的処理で可能となり、图形集合演算をはじめ各種图形処理の高速化が実現する²⁾。

以下三次元图形ファイル SPFにおいて、图形を具体的に表現する頂点テーブルへの要求事項を列挙す



(i) 斜視図

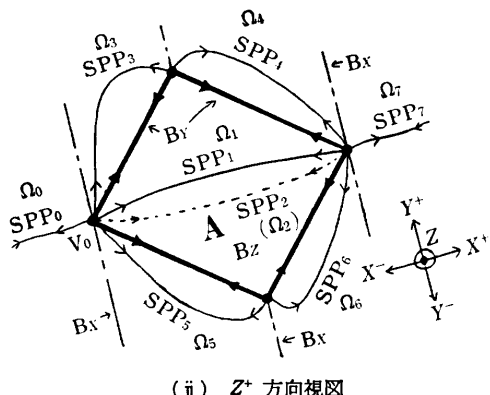
(ii) Z^+ 方向視図

図 5 三次元空間の面Aによる分割と対応する SPP

Fig. 5 3-D space partition by plane A, and corresponding SPPs.

る。

(1) 任意枚数の面の交叉により成る辺が任意本数集まつた頂点の表現ができること。これにより図 6 の多重相貫体、図 7 のような凹空間・凹面を含む多種材質モザイック图形等の表現が可能になる。注意すべきことは、これらの图形では物体の界面のような、表裏の定義できない面の表現が必要なことである。曲面も重要であるが今回の検討からは外した。

(2) 頂点座標値のほか辺 EP, 面 FP, 空間 SP 等の各ポインタが設置できること。ここで初めて出てきた FP (surFace Pointer) は、図 8 に示すように模様や色を含む物体表面を、物体内部の空間とは別のものとして表現するためのポインタである。

(3) 部分空間の外形や隣接空間を局所的処理で検索するための回転サーチが効率的にできること。三次元の場合には、与えられた空間のY側外形や隣接空間を求めるZ軸まわり回転サーチと、Z側のそれを求めるY軸まわり回転サーチの二種がある。

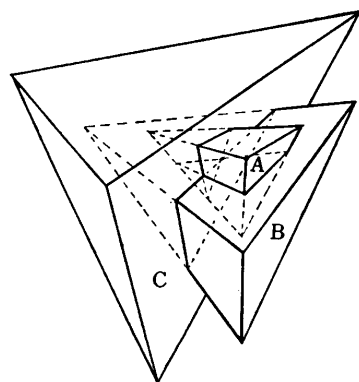


図 6 多重(三重)相貫图形の例

Fig. 6 Multiple (Triple) mutually penetrated figures.

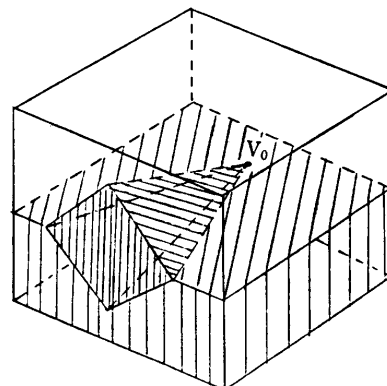
図 7 凹空間を含む多種材質頂点 V_*

Fig. 7 Multi-material vertex V_* with concave spaces.

(4) 三次元 SPF 空間分割に特有の影の交叉線の表現が可能のこと。3.8 節で説明する。

(5) 空間 (SP), 面 (FP), 辺 (EP) 等にはそれぞれ空間属性, 面属性, 辺属性が設置できること。これは二次元(図2)と同様である。図9に原理的に示した重なり表現を図6, 図7の表現と組合せれば多重包含を含む多重相貫体の表現が可能になる。

(6) 図形追加・削除・加工・移動・回転等に伴うデータの更新が容易なこと。これは辺・面・空間をすべてポインタ EP・FP・SP で表現し、かつ頂点テーブルを可能な限り固定長とすることで達成される。

(7) コンパクトなこと。等である。これらのうち特に重要なのは(3)回転サーチの効率的サポートである。以下これを重点に、最初にリスト構造による三次元頂点テーブルの原理を説明し、そこから実用的なテーブルの構成法を誘導する。

3.2 リスト構造による頂点テーブルの原理説明

図10にSPP₁からY⁺側境界面B_{Y1}⁺および隣接空間のSPP₄を求める、三次元Z軸まわり回転サーチを示す。必要なことは同図白矢印 や黒矢印 の、頂点において回転的に隣り合うポインタ間の検索が容易な頂点テーブルの構造をつくることである。2.2節で示した二次元の場合には、各EPやSPの(回転的)左右隣りには、SPやEPが必ず1個ずつしか存在しない。このため、図3に示した1列ループ状の頂点テーブルにより、隣りの項目を検索することで回転サーチの要求を実現できた。しかし三次元ではEPで表現される辺の左右^{*}に複数個のSP, FPがZ方向上下に重なって隣接する形となるため同じ方式はとれない。例えば図11(i)は凸な三面のつき合わせによる凸三面頂点をZ⁺側から見た図であるが、EP₀の辺の左側にはSP₀₁⁰, FP₀₁¹, SP₀₁², FP₀₂³, SP₀₂⁴で表現される合計5個の空間と

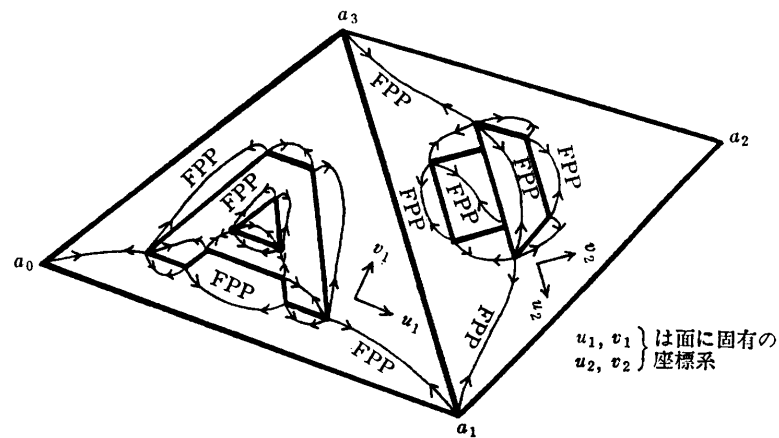


図8 物体表面の図柄のFPPによる表現
Fig. 8 Representation of the figures on the surface of solid by FPPs.

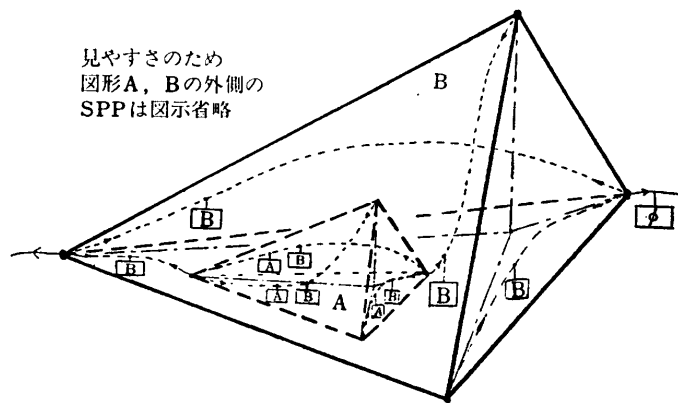


図9 空間属性(面向)のSPPへの付加による重なり図形の表現
Fig. 9 Representation of overlapped figures by attaching space attribute (面向) to SPPs.

面が直接に隣接している。三次元頂点テーブルの主眼点は、このような1対複数の隣接関係をリスト構造を利用して検索に便利な形で表現することである。なおここでポインタの記号について触れておく。FP_{i,j}, SP_{i,j}の肩の添字_zは、EP_iで表現される辺の左側に隣接している面(FP)または空間(SP)をZ⁺側から数えた重なり順を表す番号(z=0, 1, 2, ...)である。また右下の添字_iと_jは、それが辺EP_iを含む仮想面B_{Yi}とEP_jを含むB_{Yj}の間に挟まれた位置にあることを示している。例えばSP₀₁²はEP₀を含むB_{Y0}とEP₁を含むB_{Y1}の間にあってZ⁺側から3番目に(最上位はSP₀₁⁰)ある空間を表現する。また同じく図11(i)にはSP₂₀⁰, SP₂₀¹, SP₂₀²のみしか出てきていないが、一般にはSP₂₀⁰, SP₂₀¹, SP₂₀², FP₂₀³, FP₂₀⁴と表記されて

* 文中、上下、左右という時は、視点を当該頂点に置き、Z⁺方向を上にして対象となる辺や空間を眺める。

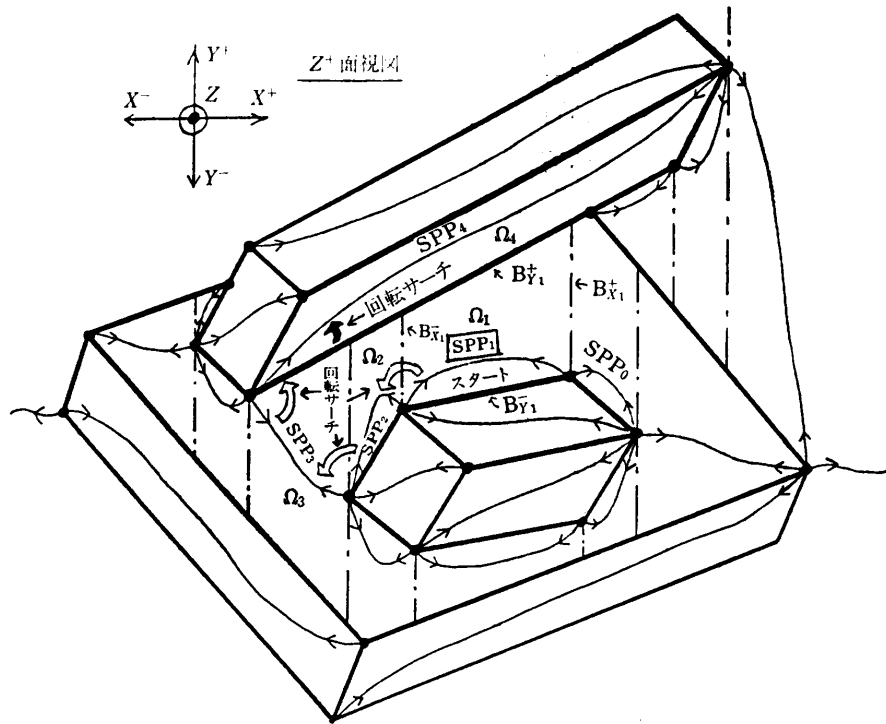


図 10 Y 側外形と隣接空間を求める Z 軸まわり回転サーチ
Fig. 10 Z -axis rotary-search to retrieve Y boundary & abutting subspace.

凹空間・凹面を表現するポインタが存在する。この場合 z より i, j は上記と同じ意味であり、さらに付加されている肩の添字 r, c, l はそれぞれ頂点から凹空間(面)に向かって右側(right), 中央(center), 左側(left)にある部分空間(面)を表現している。例えば図 11(i)で SP_{20}^r は EP_2 と EP_0 の二辺に挟まれて、 Z^+ 側最上位にある空間($z>0$ はこの図の場合には存在しない)のうち、頂点 V から凹空間に向かって右側(図では下側)にある部分空間を表現している。なお以下では煩雑さを避けるため、特に注目しない添字は適宜省略する。

さて、前述の 1 対複数の隣接関係をリスト構造で表現する方法について述べる。図 11(ii) は同図(i)の AA' 断面図であり、各 EP, FP, SP の隣接関係をその間を結ぶ矢印で示したものである。ここでこれら矢印を EP, FP, SP 相互間を接続する頂点テーブル内の付加的ポインタと考えれば、これはリスト構造の頂点テーブルそのものである。図中 LP^z (Left edge Pointer) は SP^z , FP^z に付加してその左側の EP を指し、 RP^z (Right space/surface Pointer) は EP に付加してその右側の SP^z , FP^z を指すテーブル内ポインタである。この方式によれば、隣接 EP, FP, SP 間の相互検索は、 z 値を与えることで容易に実行できる。 z

値は回転サーチを今どの z 値の面または空間で行っているかにより決まる。なお本件は 3.9 節で補足する。

リスト構造はフレキシブルであり、1つの頂点に任意個数の辺が集まり、1つの辺が任意枚数の面の交叉より成る一般的な頂点に拡張することも可能である。この方式の頂点テーブルを各頂点に対応して設置すれば原理的には三次元 SPF は完成する。しかしこの方式のリストでは、付加的ポインタのためにメモリ所要量が多く、また検索時にポインタをたどる回数が多いなど、効率上の問題点がある。次節ではこの問題を緩和する手法につき述べる。説明は最初に基本的な凸三面頂点について行い、その後一般化する。

3.3 凸三面頂点の頂点テーブル

図形が回転すると SPF の空間分割が変化し、それに伴って EP, FP, SP の隣接関係も変わってくる。図 11(ii)のリスト構造では、回転への対応はポインタの追加・削除と指し先変更で可能であるが効率が悪い。一方頂点テーブルを固定フォーマットのテーブル構造にすれば効率は良いが、変化への対応には無理がある。このため破線で囲った EP_i ブロックごとに部分的にテーブル化し、ブロック間をポインタで接続したテーブルとリストの折衷方式を検討する。 EP_i ブロックをテーブル化したものが同図(iii)の EP_i テーブル

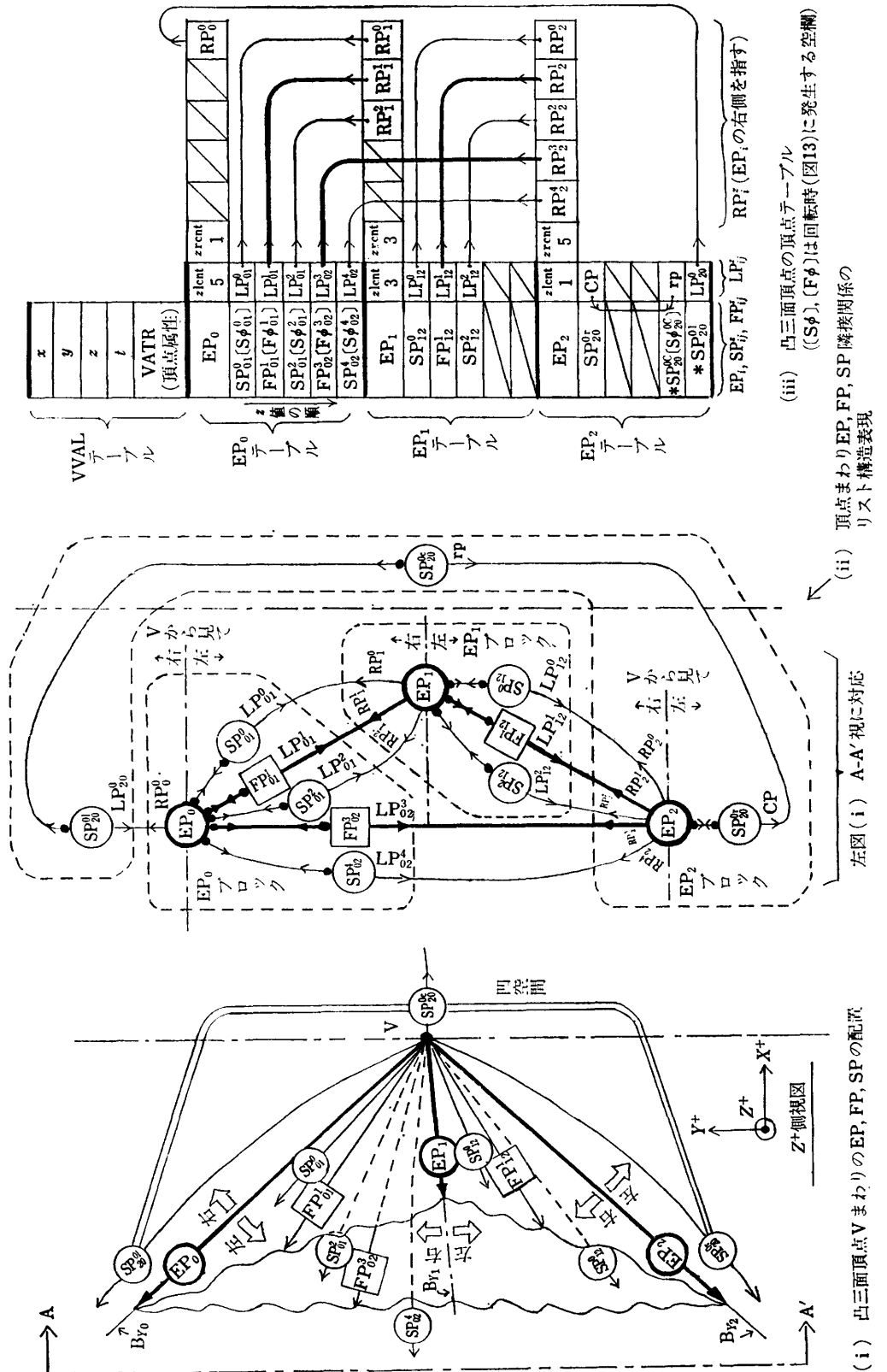


図 11 凸三面頂点におけるEP, FP, ISP, 隣接関係のリスト表現と頂点テーブル
 Fig. 11 List expression of EP, FP, ISP, neighboring relationship & Vertex Table.

である。EP_i テーブルの基本フォーマットは、EP_i の左側の SP^e, FP^e, および凹空間・凹面がある場合には SP^{ee}, FP^{ee}, を z の順に並べて設置することである。図中 [S ϕ], [F ϕ] は次節で説明する。EP テーブル内では項目間の相対位置が固定されるから、図 11(ii) でプロック内項目間を結合していた黒丸矢印 →→→ のポインタは不要になる。EP テーブルのサイズは辺の左側と面の Z 方向重なりが最大となる EP₀ ブロックに合わせ、余りが出れば空欄にしておく。図のごとく EP テーブルを辺の数だけ並べ、頂点座標値等を含む VVAL (Vertex VALue) テーブルを加えたものが頂点テーブルである。凹空間凹面がある場合には、これを表現する SP^e, SP^{el}, FP^{ee}, FP^{el} は頂点テーブルの中で上記空欄を探して設置する。同図(i) EP₂ の左側の凹空間については、SP₂₀⁰, SP₂₀^{0l} は同図(iii)*印の位置が（この設置前は）空欄だったので、そこに

設置してある。この場合 SP₂₀⁰ と SP₂₀^{0l}, SP₂₀^{0l} との間はポインタ cp, rp によって相互に検索できる。空欄を探して設置する手法は、この図の場合には煩雑なだけで意味がないが、3.5 節の凹三面頂点の場合に役立つ。

EP ブロック間 (EP テーブル間) の接続は、図示のごとく LP^e, RP^e の指し合いで行われる。同図(iii)では RP^e は EP テーブルから突出した形で図示したが、見やすさのため以上の意味はない。なお、LP, RP, cp, rp はテーブル内アドレス差分として、それぞれ 1 バイト以下でコンパクトに記述できる。EP に付加した z_lcnt は辺の左側の空間と面の Z 方向への重なり数、z_rcnt は右側の空間と面の重なり数である。辺や空間の属性、その他詳細項目は図示を略した。

3.4 凸三面頂点の回転

図 12 は、図 11(i) の頂点を Z 軸まわりに回転

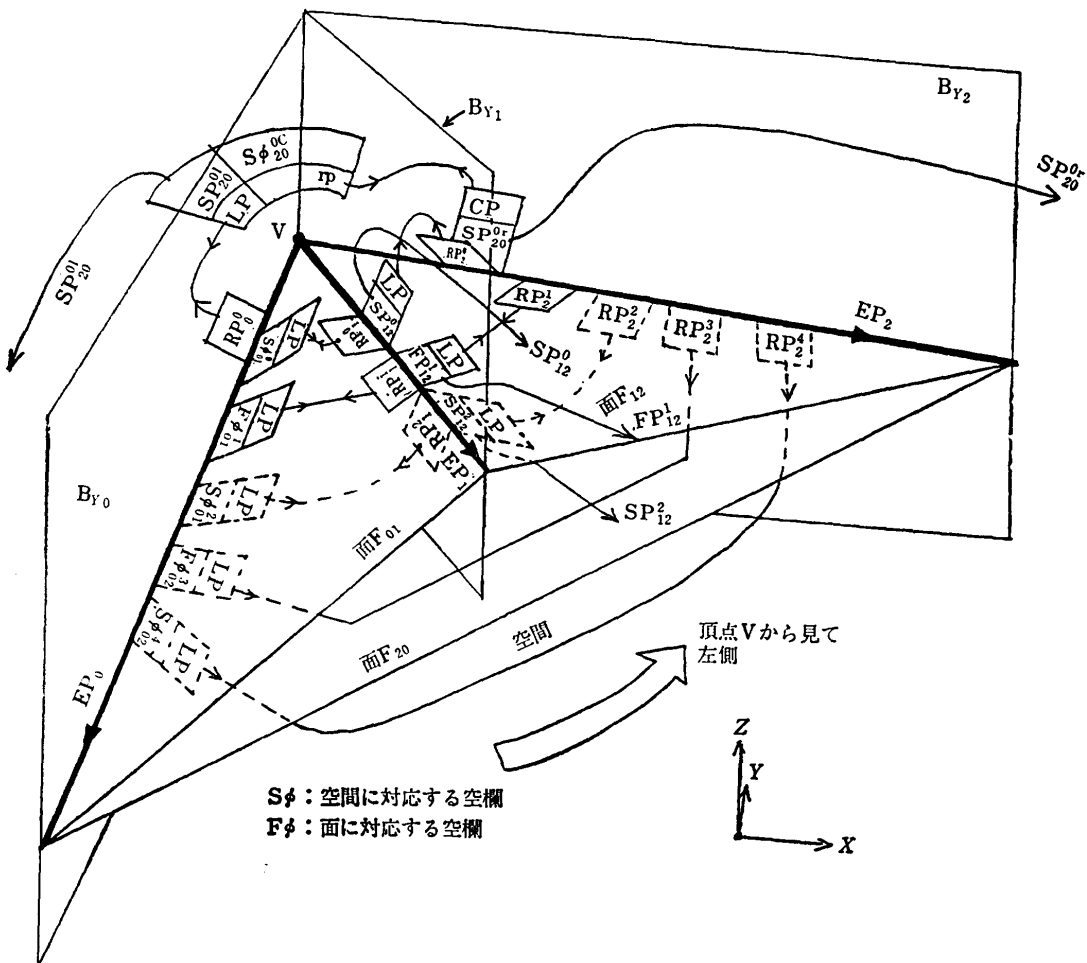
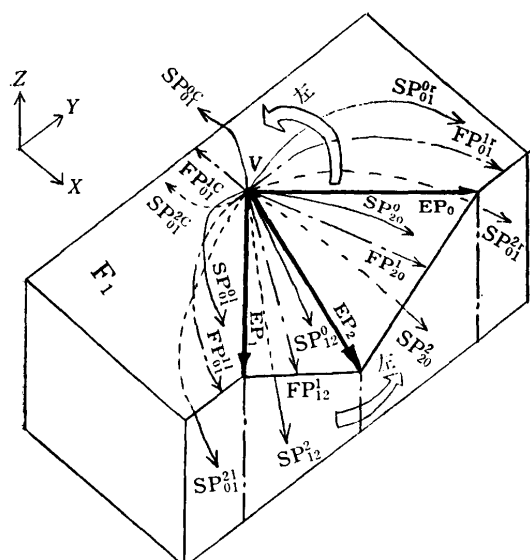


図 12 図 11(i) を Z 軸まわりに回転
Fig. 12 Rotate Fig. 11 (i) around Z-axis.

し、各種ポインタを名前で表示したものである。Z 軸まわりの回転では、二次元の場合(図4)と同じく、SP や FP の一部を空欄 S ϕ , F ϕ に置換する。これは図11(Ⅲ)において対応する SP, FP を [] 内の S ϕ , F ϕ に替えることで実現できる。S ϕ , F ϕ は空欄ではあるが、頂点周りにある空間や面の存在を表現していると考えることもできる。その意味で、S ϕ , F ϕ を SP, FP と等価であると考えると、Z 軸まわりの回転に関しては頂点テーブルの構造は不变 (SP の指し先は変化する) と言える。

図形の一般的な回転では EP テーブルの構造は不变にはならないが、プログラム効率からは、テーブルサイズが一定であるのが望ましい。図12 の凸頂点を三次元的に回転させると、各辺の左右にある空間と面の Z 方向重なり数が変化する。しかし上述のように S ϕ , F ϕ を SP, FP と等価と考えると、頂点が Z 方向に向く場合を含み、どのような回転に対しても辺の左右の SP, FP (S ϕ , F ϕ) の数は同図の EP₀, EP₁, EP₂ のどれかと必ず等しくなる。したがって多少の空欄を許せば EP テーブルサイズは一定でよく、頂点テーブル全体も固定サイズにできる。



(i) V のまわりのポインタ

図 13 凹三面頂点 V のまわりのポインタと頂点テーブル
Fig. 13 Pointers around concave vertex V' of polyhedron, & Vertex Table.

3.5 凹三面頂点の頂点テーブル

最初に図13(i)に示す凹三面頂点が、前述の凸三面頂点と同一コンセプトで、同一サイズの図13(ii)に示す頂点テーブルにより表現できることを示す。図13(i)の図11(i)との相異は、EP₀ の辺の左側に凹空間・凹面を表現する SP^{0r}, SP^{0c}, SP^{0l}, FP^{1r}, FP^{1c}, ... 等合計9個のポインタが存在することである。このため EP テーブルのサイズを図11(Ⅲ)の凸頂点と同じにすると EP₀ テーブルは溢れてしまう。しかし、この場合には EP₁ テーブルと EP₂ テーブルに空欄ができるので、3.3節で説明したように凹空間、凹面に対応する SP^{rc}, SP^{lc}, FP^{rc}, FP^{lc} を、これらの空欄に設置できる(図13(ii)*印)。以上により図13(i)の頂点テーブルが凸三面頂点の場合と同一サイズになることが分かった。

次に任意形状・方向を持つ凹三面頂点が、すべて同一サイズの頂点テーブルで表現できることを示す。そのためには次の二つの命題が正しければよい。

- (1) 図14(i)～(vi)で示す凹三面頂点、またはこれらと XY 平面に関し対称な形状の頂点はすべて前出の凸三面頂点と同一サイズの頂点テー

VVAL テ ー ブ ル	x	VATR(頂点属性)		
	y	z	t	
EP ₀ テ ー ブ ル	EP ₀	3	3	RP ₀ ² RP ₀ ¹ RP ₀ ⁰
	SP ₀₁ ⁰	← CP ₀₁ ⁰		
	EP ₀₁ ¹	← CP ₀₁ ¹		
	SP ₀₁ ¹	← CP ₀₁ ¹		
	* SP ₀₁ ² _c	← rP ₀₁ ²		
	* SP ₀₁ ² _r	LP ₀₁ ²		
EP ₁ テ ー ブ ル	EP ₁	3	3	RP ₁ ² RP ₁ ¹ RP ₁ ⁰
	SP ₁₂ ⁰	LP ₁₂ ⁰		
	FP ₁₂ ⁰	LP ₁₂ ⁰		
	SP ₁₂ ¹	LP ₁₂ ¹		
	* FP ₁₂ ¹ _c	← rP ₁₂ ¹		
	* FP ₁₂ ¹ _r	LP ₁₂ ¹		
EP ₂ テ ー ブ ル	EP ₂	3	3	RP ₂ ² RP ₂ ¹ RP ₂ ⁰
	SP ₂₀ ⁰	LP ₂₀ ⁰		
	FP ₂₀ ⁰	LP ₂₀ ⁰		
	SP ₂₀ ¹	LP ₂₀ ¹		
	* SP ₂₀ ⁰ _c	← rP ₂₀ ⁰		
	* SP ₂₀ ⁰ _r	LP ₂₀ ⁰		

(ii) V の頂点テーブル

ブルで表現できる。

- (2) 任意の凹三面頂点は、これら図14(i)～(vi)またはそのXY平面に関する面对称形のどれかと、必ず同一構造の頂点テーブルで表現できる。

図14(i)～(vi)は図中一点鎖線で示す凹面の中心線cがY軸に垂直な面のX⁻側半平面内にある凹三面頂点を、Z⁺側から見た各種形状の代表例である。代表例というのは、各EP_iの左側のSP, FPの並び方が同じ形の頂点では頂点テーブルが同一になるので、違うもののみを挙げたということである。頂点テーブルは凹面の中心線cが上記X⁻半平面内にある限り、凹面の傾き、凹角($\angle EP_0 \cdot EP_1$)によらず同様で、すべて同図(i)～(vi)のどれかで代表される。またXY平面に関する面对称形も原理同様なので、以下の説明は省略する。

さて、上述の命題(1)を説明しよう。これらの図にはEP₀, EP₁, EP₂の左側に存在するSP, FP, S ϕ , S ϕ の合計数が⑨, ③, ①等で表示されている。このうち図14(i)は図13と同一形状を示したものである。図13は本節前半で説明したようにEP₀の辺の左側に計⑨個のSP, FPがあり、EP₀テーブルは溢れるがその溢れ分はEP₁, EP₂テーブルの空欄に設置された。その様子を図14(i)細線矢印で示した。他の同図(ii)～(vi)についてもEP₀の左側のSPとFPを数えると必ず⑨であり、EP₀テーブルは溢れるが、どの場合にもEP₁, EP₂テーブルには空欄があり溢れ分が収容できる(各EPテーブルには合計5個までのSP, FPが設置できる)。以上で命題(1)の説明が終った。

次に命題(2)について述べる。与えられた任意の凹三面頂点は、Z軸まわりの回転により凹面の中心線をY軸に垂直な面のX⁻半平面まで動かせば、図14(i)～(vi)のいずれかと合わせることができる。この回転に際し、前述のごとくS ϕ , F ϕ をSP, FPと等価と考えれば、頂点テーブルの構造は不变である。したがって、与えられた凹三面頂点は、図14(i)～(vi)のいずれかと同じ構造の頂点テーブルで表現できると言える。

以上、命題(1), (2)により、任意の凹三面頂点は凸三面頂点と同一サイズの頂点テーブルで表現できることが分かった。

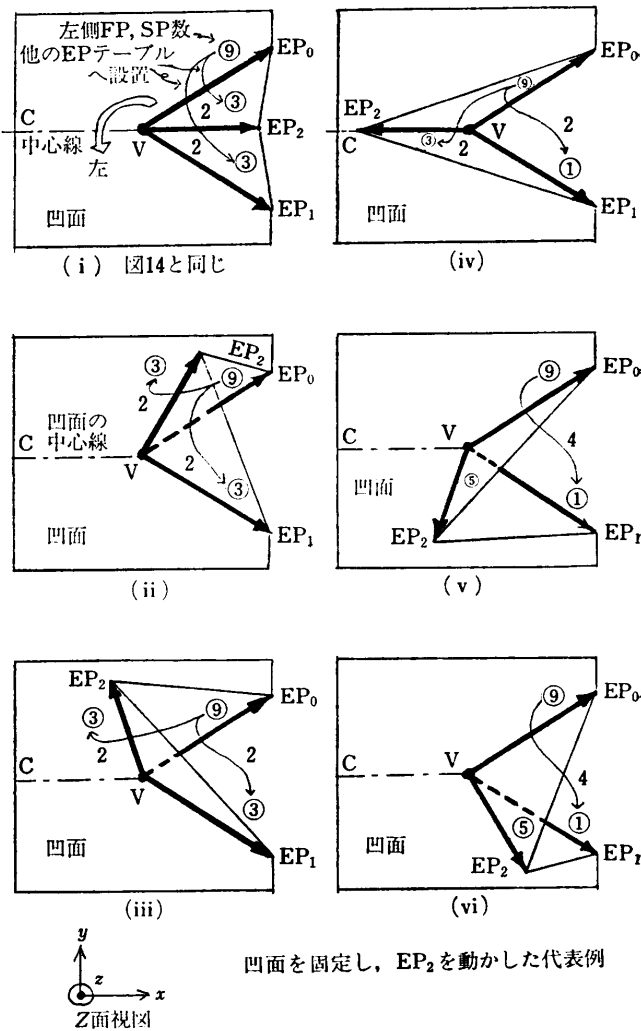


図14 凹面を持つ頂点の全基本形状と溢れたSP^{**}, SP^{**}等の他のEPテーブルへの設置

Fig. 14 All basic forms of vertices which include a concave surface.

3.6 貫通点の頂点テーブル

図15は図形のコーナー(辺)が面を貫通する貫通点、図16は三面の交叉点であるが、これらも一種の頂点として頂点テーブルで表現する。この場合には頂点に集まる辺の数がそれぞれ4個、6個なので、各辺に対応してEPテーブルの数を増やす必要がある。しかし、すべての辺は2面の交叉線であるから、辺の左右の面と空間のZ方向重なりの最大値が2面と上中下3空間、合計5を越えることはない。このためEPテーブルのサイズは前出の凸凹三面頂点と同じでよい。これに対し、EPテーブル数の増加は、これを並べた頂点テーブル全体が凸凹三面頂点と同じ固定サイズに収まらない問題を起こす。1つの対策は、メモ

リ・アロケーション・プログラムの工夫で、標準的な凹凸三面頂点のサイズと共にその2倍サイズのテーブルも許すようにする方法である。この場合、貫通点の頂点テーブルは図15(ii)、図16(ii)のごとく2倍サイズに統一し、余りは空欄にする。貫通点の出現頻度が低ければ多少の無駄は許容できよう。その他、次節に示す任意頂点として処理する方法もある。なお図中PEP(Penetration Edge Pointer)は貫通辺EP間の相互検索を容易にするテーブル内ポインタである。貫通点の表現に空間属性による重なり表現を加えれば、多重包含を含む多重相貫体の表現が可能になる。

3.7 任意頂点の頂点テーブル

頂点テーブルはZ方向最大重なり数によってサイズを決めたEPテーブルを、辺の数だけ並べてVVALテーブルを加えたものであるから、任意頂点の表現は本来可変長テーブルになる。しかし、可変長テーブルはメモリ管理が複雑化して効率が悪いから、実用的には固定長化を図るのが望ましい。三次元空間における頂点は一般に三面の交点で、辺は二面の交叉による基本形で表現できる。すなわち、四面以上が1点で交叉する「複雑な頂点」や三面以上が交線を共有する「複雑な辺」等は基本形が接近隣接したものと考えてよい。このため三面頂点への分解アルゴリズムを適切に採用すれば凸・凹三面頂点の組合せで任意頂点が表現でき、固定長化が可能になる。もちろん、曲面の四辺形パッチ等で四面頂点を多用するような時には、専用テーブルを同じ考え方で作成するのがよい。

もう1つの方法は、頂点に集まる辺を表現するEEテーブルを独立させて別テーブルとし、図17のように表現することである。これによれば頂点へ集まる辺数の制限はなくなる（三面以上が同一線で交叉する複雑な辺の問題は解消しないが、出現頻度が少なく実用上は困らないと思われる）。しかし反面、LP, RP, cp, rpをテーブル間を指すフルサイズのポインタにする必要があるため、メモリ容量が増加することは避けら

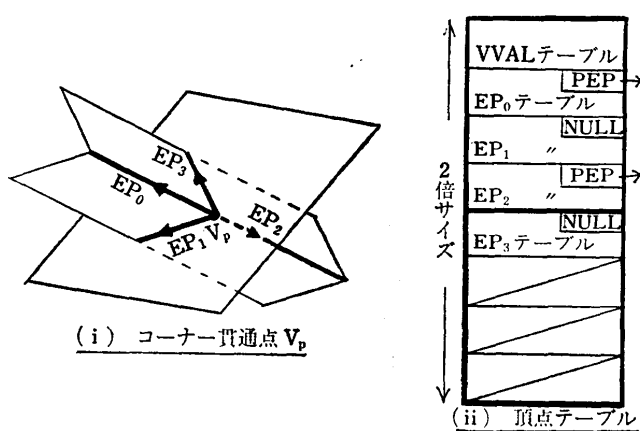


図15 コーナー貫通点 V_p と頂点テーブル
Fig. 15 Corner penetration point V_p & Vertex Table.

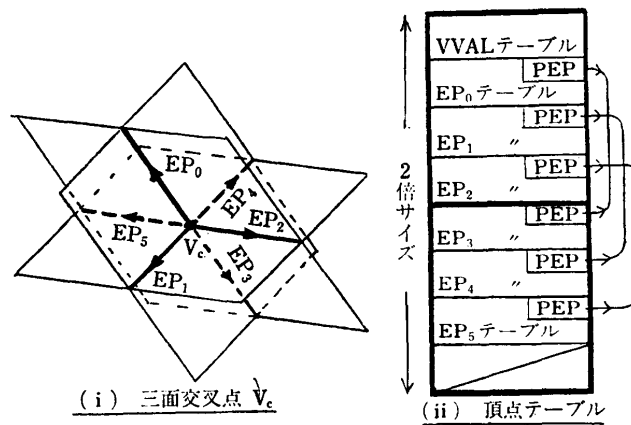


図16 三面交叉点 V_c と頂点テーブル
Fig. 16 Three planes cross-point V_c & Vertex Table.

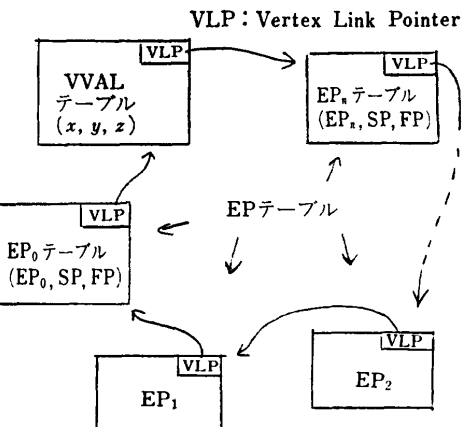
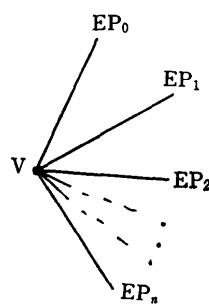


図17 EP テーブルによる頂点の表現
Fig. 17 Representation of vertex by EP table.

れない。

三次元空間における面、折れ線、点、等の頂点テー

ブルも同様に作成できるが説明は省略する。

3.8 影の交叉の頂点テーブル

影の交叉とは、図 18(i) のように Z 方向には離れているが、同図(ii)のごとく Z^+ 側から見れば交叉している形状である。影の交叉を直接に構成する空間は同図影の交叉線 $\overline{cc'}$ でつき合わせになる $\Omega_{01} \sim \Omega_{30}$ のみであり、A面またはその上側やB面またはその下の空間は直接には関係しない。直接に関係する空間は Z^+ 側から見れば同図(ii)のごとく $\overline{cc'}$ のまわりにループ状に相互に隣接して並んでいるため、二次元の場合と同様に同図(iii)に示すループ状の頂点テーブルで表現できる。なお、同図(iii)には先に図 12(iii)で示したような VVAL テーブルが示していないが、影の交叉の座標値 (x, y) は二辺の両端の座標値から計算できるため、メモリ節約の目的で省略したのである。影の交叉は出現頻度が高いから、メモリ管理は複雑化するが三面頂点と同一サイズの中にこれを複数個設置してメモリを節約するのがよい。もちろん各 EP テーブルを独立させた図 17 の方式では、影の交叉の頂点テーブルを一般の EP テーブルと同一サイズにすることで問題を回避できる。図 18(iii)のテーブルの各 EP_i に付加された項目 z_{ci} は、EP_i の左側で影の交叉をする空間の Z^+ 側から数えた重なり番号で、この図の場合には z_{c2} のみが 3 である（その他例えは EP₃ の左側空間 Ω_{30} は、EP₃ の左側隣接面の中では Z 方向最上位なので、 $z_{c3}=0$ である）。 z_{ci} は 3.9 節で示す回転サーチに際して、影の交叉がサーチ中の空間に関するものかどうかをプログラムに知らせる役目をする。影の交叉の頂点テーブルは異なる図形辺間に挿入するが、すべてポインタ構成であるため追加・削除は容易である。

3.9 Z 軸まわり回転サーチに関する補足

図 19 白矢印 \Rightarrow ①～④に、図形 A の内部空間を表現する SPP₁ を与えられて、 Y^+ 側外形 B_{Y1+} を求める Z 軸まわり回転サーチの経路および頂点テーブル上での検索の様子を示す。このうち①、②のサーチはポインタで指されているとおりにたどればよいから簡単である。しかし頂点 a_0 の EP₁ から、これに対応する頂点 a_1 の EP₀ へ行く EP たどり③においては、その後に続く頂点 a_1 における隣接辺の検索が、④の経路で SPP₁ の外形 B_{Y1+} の一部である EP₂ へ正しく行われるための情報を保持していくなくてはならない。間違って④' 等へ行ってはいけない。そのためには同図で示すように、②でたどり着いた RP₁²（これは頂点 a_0 の

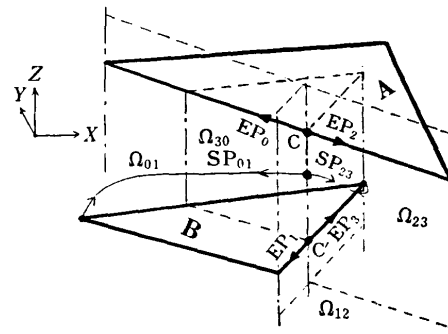


図 18 (i) 影の交叉線 $\overline{cc'}$ (斜視図)

Fig. 18 (i) Shadow crossing line $\overline{cc'}$ (perspective).

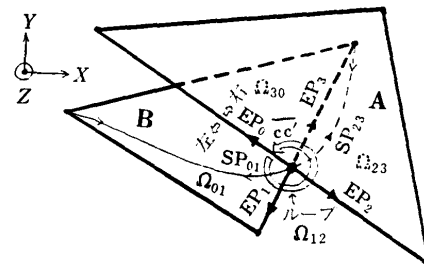


図 18 (ii) 上記(i)の Z^+ 面視図、 $\overline{cc'}$ は点に見える

Fig. 18 (ii) Z^+ view of Fig. (i) above.
 $\overline{cc'}$ looks like a point.

		ループ
EP ₀	$z_{c0}=0$	PEP
SP ₀₁		
EP ₁	$z_{c1}=0$	PEP
EP ₂	$z_{c2}=3$	PEP
SP ₂₃		
EP ₃	$z_{c3}=0$	PEP

図 18 (iii) 影の交叉 $\overline{cc'}$ の頂点テーブル

Fig. 18 (iii) Vertex Table of shadow crossing $\overline{cc'}$.

EP₁ の右側空間の回転サーチ中の SPP₁ を指している)の z 値 [$z=2$] を保持し、③でたどり着いた頂点 a_0 の EE₀ テーブルの中から、 $z=2$ を使って SPP₁ と同一空間を表現している $S\phi^2$ を選べばよい。一般に辺の片端の頂点から眺めたとき辺の右側にあって RP² で指される空間(面)は、その辺の他端の頂点から眺めるとその辺の左側になつて SP^2 , $S\phi^2$ (FP^2 , $F\phi^2$) で表現され、 z 値は両者等しい。同一空間(面)の z 値が辺の両端で等しい理由は、辺の途中で空間(面)の Z 方向重なりが変化することは(曲面でなければ)あり得ないからである。

次に同図黒矢印 \leftarrow の回転サーチにおいて、⑥の EP たどりの途中で影の交叉 c に出会ったときの処置について述べる。影の交叉の頂点テーブルは図 18(iii) で

示したように、交叉 c に属する EP_0 の左側で影の交叉を構成する空間の EP_0 に関する z 値を z_{c0} (この図の場合には EP_0 の左側の面の上側空間が影の交叉を構成するので $z_{c0}=0$)として保持している。図の場合には EP たどり⑥で保持している z 値が $[z=0]$ のため、 $z=z_c$ となり、⑦の回転サーチを行う。しかし、もし $z\neq 0$ のような別の空間で回転サーチを行っている場合には $z\neq z_c$ となり、影の交叉と無関係であることが分かるから、 c の頂点テーブルは無視して(辺に沿って影の交叉をパスして)⑧の経路で先に進む、これは具体的には図18(Ⅲ)の頂点テーブルで PEP で指される EP へ移ることで実行される。

3.10 Z 側境界 B_z の局所的検索 (Y 軸周り回転サーチ)

本節では、これまでに作成した頂点テーブルを使えば、 Z 側境界 B_z が局所的処理で検索できることを示す。図 20 で SPP_1 が与えられて $B_{z_1}^+$ を求めるには、 SPP_1 を出発して目的の $B_{z_1}^+$ に Z^- 側から密着する空間の SPP のみを一方向（ここでは X^+ 方向）的にどこまでもたどればよい。 $B_{z_1}^+$ が有限ならばそのような探索ルートは必ず $B_{z_1}^+$ の外周上の頂点（交点を含む）に達し $B_{z_1}^+$ が求まる。 $B_{z_1}^+$ に Z^- 側から密着した空間は、 SPP をたどる途中の頂点では必ず Z 方向最も上側にある空間で $z=0$ である。したがって、頂点テーブルで常に $SP^{x=0}$ を選びながら X^+ 方向へたどればよい。この条件を満たす道順は、同図に白または破線矢印で示すように複数存在するが、どれを選んでもよい。最終的に $B_{z_1}^+$ の外周に到達したことは、 X^+ 向きの SP_1^0 に

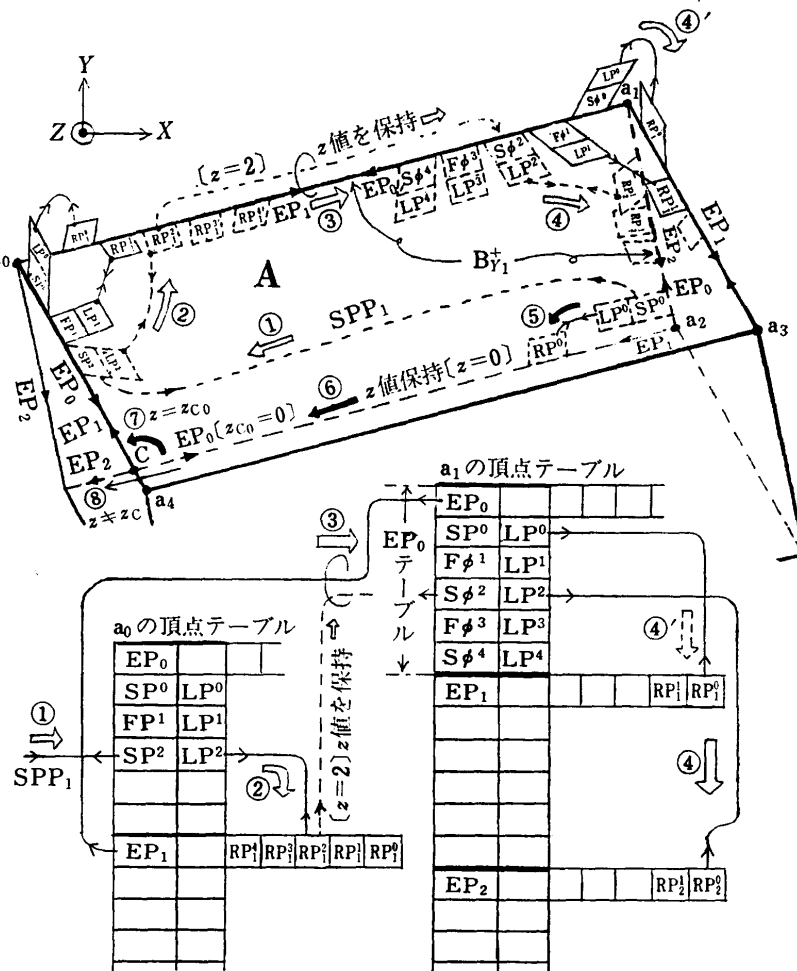


図 19 回転サーチ EP たどりにおける z 値の保持
 Fig. 19 z value keeping for EP tracking on rotary-search.

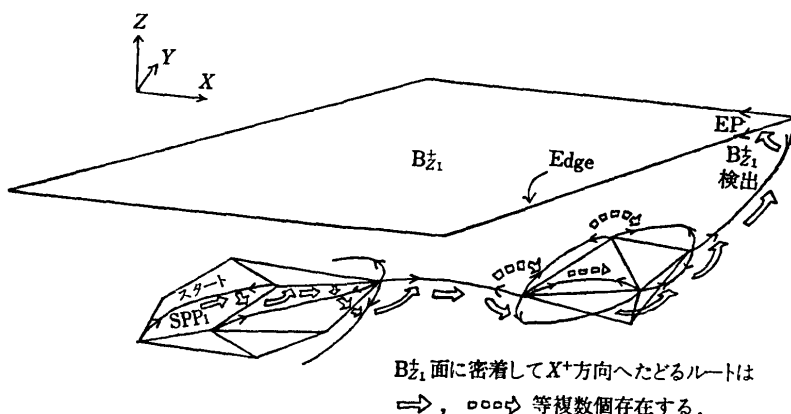


Fig. 20 Rotary-search around Y axis, to find out Z side border surface.

よって指されてたどり着いた SP_i^* の z 値が $z > 0$ であることで判定できる。これは SP_i^* より Z^+ 側に辺と頂点を共有する面が存在することを示し、それはすなわち $B_{Z_1}^+$ にほかならないからである。また、 Z^- 側の $B_{Z_1}^-$ を求めるには、 SP^0 の代りに Z 方向最も下側の $SP^{z_{\max}}$ をたどればよい。なお本節で述べた Z 側の検索は、別の見方から Y 軸まわり回転サーチと呼ぶこともある。

4. む す び

スペースモデリングを具体化するために必要な、頂点テーブルの構成法について提案した。検討に当り留意したことは、スペースモデルの特徴である局所的処理に必要な回転サーチをサポートすること。および、二次元・三次元・凹凸・任意回転・多重相貫等を含む汎用性を持たせることであった。また、辺・面・空間をすべてポインタで表現すると共に、できるだけ固定長テーブル化することにより部分修正の高速化を図った。これはオンライン対話処理のみならず、回転・変形を伴う運動図形のシミュレーション等、将来の高度応用への備えにもなると考えている。

今後の課題としては、曲線・曲面、階層構造の取扱い等が残されている。

謝辞 最後に本研究に当り御支援、御助言くださった関係者の方々に心から感謝の意を表します。

参 考 文 献

- 1) 大沢 晃: 二次元スペースモデリングの考察、情報処理学会論文誌, Vol. 27, No. 12, pp. 1174-1185 (1986).
- 2) 大沢 晃: 三次元スペースモデリングの考察、情報処理学会論文誌, Vol. 27, No. 12, pp. 1186-1196 (1986).
- 3) Baumgart, B. G.: A Polyhedron Representation for Computer Vision, AFIPS Conf. Proc., Vol. 44, pp. 589-596 (May 1975).
- 4) 斎藤たつき: コンピュータ・グラフィックス工学(4) 機械の研究, Vol. 36, No. 11, pp. 78-81 (1984).

(昭和 61 年 11 月 12 日受付)
(昭和 62 年 4 月 15 日採録)



大沢 晃 (正会員)

昭和 11 年生。昭和 34 年名古屋大学工学部電気工学科卒業。昭和 36 年同大学大学院応用物理修士課程修了。同年(株)日立製作所入社。日立大みか工場で制御用計算機ハード、主としてプロセス入出力装置、AD コンバータ、磁気ドラム、CRT、電源装置等アナログ関係設計を担当。加速迷路法によるプリント板自動配線アルゴリズムを開発。昭和 50 年より日立武藏工場で半導体 CAD 等を担当、現在に至る。副技師長。電子情報通信学会会員。